

طراحی رؤیت‌گر و کنترل‌گر غیرخطی تحت شبکه برای سیستم کنترل وضعیت ماهواره مدار پایین زمین

علی بادپا^۱, محمدتقی حمیدی‌بهشتی^{۲*}, مهدی سجودی^۳

۱- دانشجوی دکتری، مهندسی برق - کنترل، دانشگاه تربیت مدرس، تهران

۲- دانشیار، مهندسی برق - کنترل، دانشگاه تربیت مدرس، تهران

۳- استادیار، مهندسی برق - کنترل، دانشگاه تربیت مدرس، تهران

* تهران، صندوق پستی ۱۹۴-۱۴۱۱۵، mbehesht@modares.ac.ir

ارائه در سایت: ۱۵ فروردین ۱۳۹۴

کلید واژگان:

در این مقاله، فیلتر کالمون توسعه‌یافته و کنترل‌گر غیرخطی واسطه به مدل تحت شبکه با استفاده از اصل جداسازی برای زیرسیستم تعیین و کنترل وضعیت ماهواره مدار پایین زمین طراحی شده است. در این راسته، با توجه به روند توسعه ماهواره‌ها، معماری زیرسیستم تعیین و کنترل وضعیت برای کلاس وسیعی از ماهواره‌های مدار پایین زمین جهت پایدارسازی و حصول اهداف مأموریتی همچون تعیین وضعیت و نشانه‌روی دقیق پیشنهاد شده است. این معماری، به صورت سیستم کنترلی تحت شبکه جهت برقراری اتصال و ارتباط بین اجزای کنترلی شامل حس‌گرهای عمل‌گرها و واحد پردازنده و همچنین به استراک گذاشتن داده با سایر زیرسیستم‌ها در نظر گرفته شده است. سپس، با مدل‌سازی تمامی اجزای سیستم و لحاظ نمودن اثرات شبکه به صورت انتشارش کران‌دار، سیستم کنترل برای جبران آن‌ها طراحی شده است. بدین منظور، الگوریتم‌های تخمین و کنترل وضعیت شامل فیلتر کالمون توسعه‌یافته و کنترل‌گر غیرخطی وابسته به مدل به‌گونه‌ای طراحی شده‌اند تا ضمن دستیابی به عملکرد مطلوب سیستم، پایداری هر یک از آن‌ها تضمین گردد. در ادامه، مدل غیرخطی دینامیک ماهواره بر حسب پارامترهای کوانتنیون و سرعت‌های زاویه‌ای ارائه شده و با بیان قضیه اصل جداسازی برای طراحی رؤیت‌گر و کنترل‌گر، شرایط هم‌گرایی و پایداری نمایی آن‌ها براساس مدل خطی شده ماهواره استخراج شده است. اثبات قضیه نشان می‌دهد که سیستم حلقه بسته به طور پیوسته وضعیت ماهواره را در محدوده دقت تعیین شده حفظ می‌نماید. در نهایت، نتایج شبیه‌سازی حاصل از اعمال رؤیت‌گر و کنترل‌گر طراحی شده بر روی یک ماهواره فعال در مدار، کارآی طراحی صورت گرفته را به خوبی نشان می‌دهد.

اطلاعات مقاله

مقاله پژوهشی کامل

دریافت: ۰۵ آبان ۱۳۹۳

پذیرش: ۲۴ بهمن ۱۳۹۳

ارائه در سایت: ۱۵ فروردین ۱۳۹۴

کلید واژگان:

زیرسیستم تعیین و کنترل وضعیت ماهواره

فیلتر کالمون توسعه‌یافته

کنترل‌گر غیرخطی وابسته به مدل

اصل جداسازی

سیستم کنترلی تحت شبکه مبتنی بر کن

Nonlinear Observer and Controller Design for Low Earth Orbit Satellite Attitude Control System over Network

Ali Badpa, Mohammad Taghi Hamidi Beheshti*, Mahdi Sojoodi

Department of Electrical and Computer Engineering, Tarbiat Modares University, Tehran, Iran.

*P.O.B. 14115 -194 Tehran, Iran, mbehesht@modares.ac.ir

ARTICLE INFORMATION

Original Research Paper

Received 27 October 2014

Accepted 13 February 2015

Available Online 04 April 2015

Keywords:Satellite Attitude Determination and Control Subsystem
Extended Kalman Filter
Model Dependent Nonlinear Controller
Separation Principle
CAN-based networked control system**ABSTRACT**

In this paper, an Extended Kalman Filter (EKF) and a model-dependent nonlinear controller over network using the separation principle for Low Earth Orbit (LEO) satellite Attitude Determination and Control Subsystem (ADCS) have been designed. In this context, according to the satellites development trend, ADCS architecture for a broad class of LEO satellites is proposed to stabilize and achieve mission objectives such as precision attitude determination and pointing. This architecture is a Networked Control System (NCS) used to establish connection and communication among control components including sensors, actuators and onboard processors, as well as to share data with other subsystems. Then, by modeling all components of the system, and considering the network effects as a bounded disturbance, the control system is designed to compensate of these effects. For this purpose, estimation and control algorithms including EKF and a model-dependent nonlinear controller are designed such that, in addition to achieving desired system performance, the stability of each of them is guaranteed. Afterwards, the nonlinear dynamics model of the satellite in terms of quaternion parameters and angular velocities is presented, and by expression of the separation principle for observer and controller design, their convergence and exponential stability conditions based on linearized model of satellite are derived. Proof of theorem shows that the closed-loop system continuously maintained satellite attitude in the specified accuracy range. Finally, simulation results obtained from applying the designed observer and controller on the active satellite in orbit demonstrates the efficiency of the proposed design.

مورد نیاز جهت انجام مأموریت در مدار، مطابق شکل ۱ شامل طراحی و

انتخاب اجزای سخت‌افزاری (حس‌گرها، عمل‌گرها، واحد پردازنده و واسطه) و

نرم‌افزاری (تخمین‌گر و کنترل‌گر) است [۲، ۱]. ماهواره‌ها که نقش تجاری در

۱- مقدمهطراحی زیرسیستم تعیین و کنترل وضعیت^۱ ماهواره برای حصول دقت‌های

1- Attitude Determination and Control Subsystem (ADCS)

Please cite this article using:

A. Badpa, M. T. Hamidi Beheshti, M. Sojoodi, Nonlinear Observer and Controller Design for Low Earth Orbit Satellite Attitude Control System over Network, *Modares Mechanical Engineering*, Vol. 15, No. 5, pp. 49-59, 2015 (In Persian)

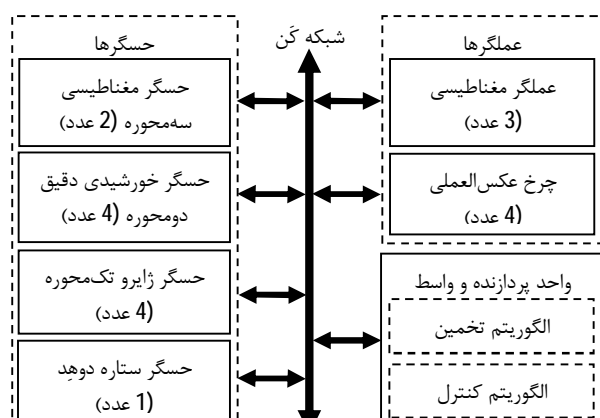
برای ارجاع به این مقاله از عبارت ذیل استفاده نمایید:

و تجزیه شده¹⁰ نیز است که اجزای آن‌ها پس از قرارگیری در مدار از طریق لینک مخابراتی و از جمله شبکه گن¹¹ به سیم¹² باهم در ارتباطند [16]. در این مقاله، عماری زیرسیستم تعیین و کنترل وضعیت ماهواره برای کلاس وسیعی از ماهواره‌های مدار پایین زمین، برای حصول دقت نشانه روی دقیق (بیشتر از 0/1 درجه)، به صورت شکل 2 پیشنهاد می‌گردد. این عماری دارای ویژگی‌های متعددی از جمله انعطاف‌پذیری بالا (به‌دلیل استفاده از شبکه گن به عنوان واسط ارتباطی)، قابلیت اطمینان بالا (به‌دلیل مقاوم بودن در برابر تک‌خطا)، پوشش‌دهی تمام ماتورهای وضعیتی (از جمله نشانه‌روی به سمت زمین، جهت‌گیری به سمت خورشید و انجام مانور چرخش) در قالب دو حالت عملیاتی نشانه‌روی غیردقیق¹² و دقیق¹³ با قابلیت دریافت ورودی مرجع متغیر در هر حالت است.

در جدول 1، حس‌گرها و عمل‌گرهای مورد استفاده در هر یک از دو حالت عملیاتی به تفکیک مشخص شده‌اند. حالت چرخ‌خش زدایی¹⁴ به عنوان حالت گذرای ماهواره پس از جدایش از پرتاب‌گر برای کاهش سرعت‌های زاویه‌ای اولیه در نظر گرفته شده است. کنترل وضعیت مطلوب و حصول دقت‌های مورد نظر در هر یک از حالت‌های عملیاتی و در هر لحظه از زمان در صورتی میسر می‌شود که تخمین وضعیت دقیق و عاری از نیز در تمام لحظات زمانی وجود داشته باشد [17]. بدین‌منظور لازم است که علاوه بر طراحی کنترل‌گر، فیلتر و تخمین‌گر متأسی نیز طراحی شود. لذا سیستم حلقه بسته کنترلی که با ترکیب کنترل‌گر و تخمین‌گر به دست آمده است، ممکن است خصوصیات کلی متقاوت‌تری از حلقه باز داشته باشد؛ بنابراین نیاز به مطالعه پایداری سیستم کلی، اهمیت بالایی خواهد داشت [18].

در بسیاری از مراجع، تخمین‌گرها و کنترل‌گرهای مختلفی برای سیستم‌های غیرخطی و سیستم حلقه بسته ماهواره پیشنهاد شده و پایداری مجانبی فرآگیر هر یک از آن‌ها به طور جداگانه اثبات شده است.

در [19] عملکرد کنترل بازخور حالت به صورت کران‌دار فرآگیر برای کلاس خاصی از سیستم‌های غیرخطی به‌وسیله رؤینگر بهره بالای سریع



شکل 2: عماری پیشنهادی زیرسیستم تعیین و کنترل وضعیت ماهواره

جدول 1: حس‌گرها و عمل‌گرهای استفاده شده به تفکیک هر یک از دو حالت عملیاتی

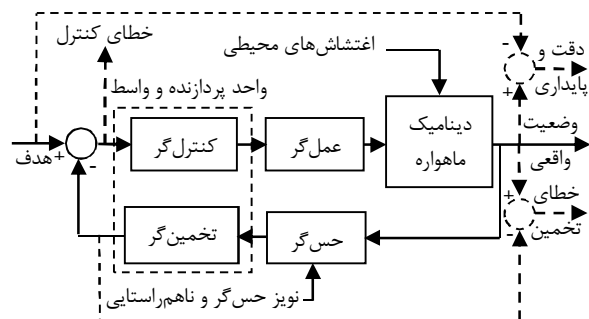
حال	حس‌گرها	عمل‌گرهای
غیردقیق	حس‌گر خورشیدی و حس‌گر مغناطیسی	گشتاوردهنده مغناطیسی
دقیق	حس‌گر ژاپرو و حس‌گر ستاره	چرخ عکس‌العملی

10- Fractionated
11- Wireless CAN (WCAN)
12- Coarse Pointing
13- Fine Pointing
14- Detumbling

هزینه‌ای ارتباطات و سنجش از راه دور ایفا می‌کند خود تحت محدودیت‌های هزینه‌ای ساخته می‌شوند. پتانسیل‌های کاهش هزینه قبل توجهی در حوزه اتوماسیون روی بورد¹ از طریق به کارگیری افزونگی تابعی برای کاهش تعداد کلی اجزای با استفاده از فناوری قطعات تجاری در دسترس²، ظاهر شده‌اند. این افزونگی نیاز به فناوری‌های مناسب جهت برقراری ارتباط زمان حقیقی بین اجزای مختلف با بیشترین آزادی عمل به منظور پیکربندی مجدد دارد. با توجه به منشأ فناوری شبکه گن³ در کاربردهای خودرویی، و نزدیک بودن نیازمندی‌های ماهواره‌ها از لحاظ عملکردی و مقاوم بودن مکانیکی و دمایی، این فناوری یکی از محتمل‌ترین گزینه‌های مطرح شده است. از طرفی با فناوری نیمه‌هادی اکسید فلزی مکمل⁴، تحمل تشعشعی آن در مدار پایین زمین⁵، تا اندازه زیادی حاصل می‌شود. در نتیجه امکان به کارگیری این فناوری در ماهواره در سال 1999 مورد بررسی قرار گرفته [3]. سپس در سال 2000 تست شده [4] و در سال 2003 در ماهواره‌های مختلفی از جمله بیل‌سات-1⁶ [5] و اسمارت-1⁷ [6] استفاده شده است. پس از آن طراحان و سازندگان ماهواره برای کاهش هزینه‌های ساخت و تست، ایجاد انعطاف‌پذیری بیشتر در طراحی پیش‌ساخته و بالا بردن قابلیت اطمینان، از این فناوری به عنوان معناری ارتباطی اجزای ماهواره استفاده نموده‌اند [7، 8، 9].

رونده توسعه ماهواره‌ها که به سمت کوچکسازی با طراحی پیکربندی‌های انعطاف‌پذیر دارای قابلیت انجام مأموریت‌های متعدد و فراهم آوردن وضعیت دقیق، در حال پیشرفت است در آن‌ها تبادل داده بین زیرسیستم‌های مختلف از طریق شبکه گن صورت می‌گیرد [11-9]. سیستم‌های کنترل دارای این پیکربندی، سیستم کنترل تحت شبکه⁸ نام گرفته‌اند. سیستم‌های کنترل تحت شبکه با وجود مزایای زیاد، دارای معایبی از جمله اتلاف داده و تأخیر زمانی به‌دلیل محدودیت‌های پهنای باند شبکه هستند که ممکن است عملکرد سیستم را تنزل داده و یا حتی آن را ناپایدار کنند [13، 12]. لذا باید طراحی سیستم کنترل با لحاظ نمودن این اثرات نامطلوب انجام شده و برای رسیدن به عملکرد مطلوب، آن‌ها را جبران نمود.

بدین‌منظور، در [14] اتفاق داده و در [15] تأخیر ناشی از شبکه به صورت اغتشاش کران‌دار مدل شده و ورودی کنترلی برای جبران آن‌ها طراحی شده است. این موضوع قابل تعمیم به ماهواره‌های پرواز آرایش‌یافته⁹



شکل 1: بلوک دیاگرام زیرسیستم تعیین و کنترل وضعیت ماهواره

1- On-Board Automation
2- Commercial Off The Shelf (COTS)
3- Controller Area Network (CAN)
4- Complementary Metal Oxide Semiconductor (CMOS)
5- Low Earth Orbit (LEO)
6- BILSAT-1
7- SMART-1
8- Networked Control System (NCS)
9- Formation Flying

سازی در معادلات دینامیکی دارد)، کالمون بدون بو³ یا نقطه سیگما⁴ و جزئی⁵ (که نیاز به خطی‌سازی در معادلات دینامیکی ندارند) به عنوان فیلترهای غیرخطی بهینه مورد استفاده قرار می‌گیرند [39-37] و بدليل اینکه فیلترهای بدون بو و جزئی دارای بار محاسباتی بسیار بالا و مشکلات پیاده‌سازی هستند [38]. لذا از بین تخمین‌گرهای مختلف، در این پژوهش از فیلتر کالمون توسعه‌یافته به عنوان فیلتر بهینه بهره گرفته شده است که سابقه استفاده از این فیلتر در سیستم‌های هوافضای بیش از 50 سال بازمی‌گردد [40]. به عنوان نمونه برای پردازش با سرعت پردازنده 60 گماهertz، تعداد دستورات فیلتر کالمون بدون بو برای هر دوره تخمین برابر 1,440,471 بوده و تأخیر زمانی در حدود 24 میلی‌ثانیه ایجاد می‌کند، این در حالی است که تعداد دستورات فیلتر کالمون توسعه‌یافته برای 141,778 و تأخیر زمانی در حدود 2/4 میلی‌ثانیه است که نسبت به فیلتر کالمون بدون بو، 0/1 برابر است. از آنجا که فیلتر کالمون توسعه‌یافته تک‌گامی بهدلیل خطی‌سازی با استفاده از تقریب مرتبه اول، به شرایط اولیه حساس بوده و ممکن است در خطاهای وضعیت اولیه، عملکرد مناسبی نداشته و یا حتی واگرا شود، برای داشتن عملکرد مطلوب، هم‌گرایی سریع، کاهش خطای تخمین، واکنش سریع به تغییرات و تنظیم فیلتر برای بیشینه‌سازی حذف نویز، در اینجا استفاده از فیلتر کالمون توسعه‌یافته دوگامی و اصلاح شده پیشنهاد شده است.

در بین کنترل‌گرها نیز کنترل‌گر تناسبی - مشتقی بهدلیل ساده بودن و پیاده‌سازی آسان، در ماهواره‌ها کاربرد زیادی دارد [18,17]. با این وجود، کنترل‌گر تناسبی - مشتقی همیشه پاسخی مطلوب فراهم نمی‌کند. از طرفی هم در حالت ردیابی، انحرافاتی در حالت ماندگار به جا می‌گذارد و نوسانات بزرگی نیز در ابتدا از خود نشان می‌دهد. علاوه بر این، کنترل‌گر برای بهره‌های سیار بزرگ، سیستم را دچار نایابی می‌کند. به منظور کوچک نمودن خطای ردیابی، دنبال نمودن تغییرات بزرگ در ورودی مرجع، و جبران اختشاش ناشی از اثرات شبکه، می‌توان با وارد کردن مدل سیستم در قانون کنترل، بر مشکلات اشاره شده فائق آمد.

در این مقاله، فیلتر کالمون توسعه‌یافته و کنترل‌گر غیرخطی وابسته به مدل تحت شبکه با استفاده از اصل جداسازی برای سیستم کنترل وضعیت ماهواره مدار پایین زمین طراحی شده است. بدین‌منظور، در بخش اول، معماری زیرسیستم تعیین و کنترل وضعیت پیشنهاد شده است. در بخش اول، دوم، به فرموله‌سازی مسئله پرداخته شده است. در بخش‌های سوم و چهارم، کنترل‌گر و رؤیت‌گر برای ماهواره مدار پایین زمین طراحی شده و پیاده‌سازی و هم‌گرایی آن‌ها اثبات گشته است. در بخش پنجم، اصل جداسازی براساس مدل خطی‌سازه ماهواره برای رؤیت‌گر و کنترل‌گر بیان شده است. در بخش ششم، نتایج شبیه‌سازی حاصل از اعمال رؤیت‌گر و کنترل‌گر طراحی شده بر روی یک ماهواره فعال در مدار ارائه شده و ضمن مقایسه نتایج با یک مرجع دیگر، مقاوم بودن الگوریتم طراحی شده به تغییرات پارامترها به صورت آماری نشان داده شده است. در بخش هفتم، نتیجه‌گیری بیان شده است.

2- فرموله‌سازی مسئله

2-1- معادلات حرکت وضعیت ماهواره مدار پایین زمین

2-1-2- سیستم‌های مختصات

سیستم‌های مختصات مرجع اینرسی $Z_eY_eX_e$ ، زمین ثابت $Z_iY_iX_i$ و مداری

بررسی شده و شرایط پیاده‌سازی مجذوبی مبدأ سیستم حلقه بسته به دست آمده است. [20] به طراحی کنترل‌گر بازخور خروجی پیاده‌سازی مجذوبی فرآگیر با رؤیت‌گر هم‌گرایی فرآگیر و قانون کنترل تناسبی - مشتقی برای موقعیت‌یابی کشتی با دینامیک غیرخطی با اثبات برقراری اصل جداسازی، پرداخته است. نتایج جداسازی برای حالت که کنترل‌گر بازخور حالت کران‌دار فرآگیر به صورت یک مجموعه فشرده معین نامتغیر در می‌آید، با استفاده از رؤیت‌گر بهره بالای خطی شده برای پیاده‌سازی نمایی در [21] تعمیم داده شده است.

[22] پیاده‌سازی فیلتر کالمون توسعه‌یافته برای سیستم‌های غیرخطی زمان گسسته با فرض برآورده شدن شرط مشاهده‌پذیری یکنواخت و کران‌دار بودن پارامترها و کواریانس خطای را بررسی نموده است. در [23] رفتار فیلتر کالمون توسعه‌یافته به عنوان یک رؤیت‌گر نمایی برای سیستم‌های غیرخطی زمان گسسته قطعی بررسی شده است. هم‌گرایی فیلتر کالمون توسعه‌یافته به طور محلی برای کلاسی از سیستم‌های غیرخطی در [24] بررسی شده و اثبات گشته است که در صورت بزرگ نبودن خطای تخمین اولیه فیلتر، خطای فیلتر به طور نمایی به صفر میل می‌کند. در [25] هم‌گرایی فیلتر کالمون توسعه‌یافته به عنوان رؤیت‌گر قطعی برای سیستم‌های زمان - گسسته غیرخطی، بررسی شده است. کنترل بهینه وضعیت ماهواره با عمل‌گر چرخ عکس‌عملی برای انجام مانور چرخش سریع، با محاسبه ماتریس بهره از روش تنظیم‌کننده خطی درجه دو و انتخاب مناسب ماتریس‌های وزنی، در [26] مدل‌سازی شده است. الگوریتم تخمین وضعیت یک ماهواره مدار پایین زمین با استفاده از روش تطبیقی مدل‌های چندگانه مشتمل از چندین فیلتر کالمون توسعه‌یافته با ساختار متغیر در [27] طراحی شده است. با وجود بهبود نسبی دقیت تخمین وضعیت با این روش، محاسبات بسیار اولیه فیلتر کالمون پیش‌بین مقاوم در برایر ناعینی ممان اینرسی و اغتشاش خارجی بر مبنای سیستم تطبیقی مدل مرجع برای سیستم کنترل وضعیت ماهواره در [28] طراحی شده است. عمل‌گرهای کنترل وضعیت شامل چرخ‌های عکس‌عملی با گشتاور 1 نیوتون - متر در نظر گرفته شده است که بهدلیل محدودیت زیاد جرمی در ماهواره‌های کوچک قابل استفاده نخواهد بود. در [29]، از فیلتر کالمون توسعه‌یافته برای شناسایی ممان اینرسی و تنظیم پارامترهای ژیروسکوپ در زیرسیستم کنترل وضعیت یک ماهواره زمین‌آنگ در فاز انتقال مداری استفاده شده است. در [30] نیز کنترل‌گر خطی درجه دوم گوکسی با بازیابی انتقال حلقة¹ مبتنی بر فیلتر کالمون توسعه‌یافته برای کنترل وضعیت ماهواره زمین‌آنگ با مدل کاهش‌یافته کواترنیون‌ها و چرخ‌های عکس‌عملی طراحی شده است.

با توجه به تحقیقات فوق، که هدف آن‌ها طراحی تخمین‌گر و یا کنترل‌گر بدون در نظر گرفتن ملاحظات عملی است، هدف و نوآوری این مقاله، علاوه بر انتخاب و چیدمان مناسب حسگرها، عملگرها و واسط شبکه، طراحی تخمین‌گر و کنترل‌گر با در نظر گرفتن تمامی ملاحظات عملی برای حصول دقتهای مورد نیاز جهت انجام مأموریت ماهواره عملیاتی سنجش از دور است. حال، با توجه به وجود چندین حس‌گر برای اندازه‌گیری وضعیت که اطلاعات آن‌ها آشناسته به نویز است، برای تخمین کامل و دقیق وضعیت در هر یک از حالت‌های عملیاتی، نیاز به تخمین‌گری است که علاوه بر ترکیب اطلاعات حس‌گرهای مختلف، نویز اندازه‌گیری را هم حذف نماید [36-32]. برای تخمین وضعیت، سه نوع فیلتر کالمون توسعه‌یافته² (که نیاز به خطی-

3- Unscented Kalman Filter-UKF

4- Sigma Point

5- Particle Filter-PF

1- Linear Quadratic Gaussian with Loop Transfer Recovery

2- Extended Kalman Filter-EKF

2-3-3- مدل زمان - پیوسته غیرخطی دینامیک وضعیت ماهواره معادلات (1) و (2) را به طور کلی می‌توان به شکل (7) و (8) نمایش داد [35]:

$$\dot{x}(t) = f(x(t), u(t), w(t)) \quad (7)$$

$$y(t) = h(x(t), v(t)) \quad (8)$$

با فرض ناهمبسته بودن دو فرآیند نویز و مستقل بودن از مقدار اولیه x_0 می‌توان سیستم (7) و (8) را به صورت (9) و (10) نمایش داد [35]:

$$P_{k+1}^- = \hat{\Phi}_k P_k \hat{\Phi}_k^T + E_k Q_k E_k^T \quad (9)$$

$$\dot{x}(t) = f(x(t), u(t)) + g(t)w(t) \quad (10)$$

$$y(t) = h(x(t)) + d(t)v(t) \quad (10)$$

4-1-2- گسسته‌سازی مدل غیرخطی دینامیک وضعیت ماهواره

معادلات (9) و (10) به شکل گسسته (11) و (12) بیان می‌گردد [35]:

$$x_{k+1} = f(x_k, u_k) + G_k w_k \quad (11)$$

$$y_k = h(x_k) + D_k v_k \quad (12)$$

به ترتیب نویز فرآیند و اندازه‌گیری بوده، و G_k و D_k نویز به صورت v_k و w_k با $D_k = \partial v / \partial x$ و $G_k = \partial g / \partial x$ به دست می‌آیند. تابع پیوسته $f(\cdot)$ و $h(\cdot)$ با سطح تیلور در بازه نمونه‌برداری ΔT به صورت (13) و (14) تقریب زده می‌شوند:

$$f(x_k, u_k) = \Phi_k x_k + \Gamma_k u_k \quad (13)$$

$$h(x_k) = H_k x_k \quad (14)$$

ماتریس‌های Φ_k ، Γ_k و H_k به صورت (15) تا (17) به دست می‌آیند [35]:

$$\Phi_k = e^{F_k \Delta t} \approx I + F_k \Delta T + \frac{1}{2} F_k^2 \Delta T^2 + \frac{1}{3!} F_k^3 \Delta T^3 + \dots \quad (15)$$

$$\Gamma_k = (e^{F_k \Delta t} - I) F_k^{-1} B_k \approx \left(I \Delta T + \frac{1}{2} F_k^2 \Delta T^2 \right) B_k \quad (16)$$

$$H_k = \partial h(x) / \partial x \quad (17)$$

ماتریس‌های B_k و F_k نویز به صورت (18) و (19) به دست می‌آیند [35]:

$$B_k = \partial f(x, u) / \partial u \quad (18)$$

$$F_k = \partial f(x, u) / \partial x = \begin{bmatrix} \frac{\partial f}{\partial q} & \frac{\partial f}{\partial \omega} \end{bmatrix} = \begin{bmatrix} F_{11} & F_{12} \\ F_{21} & F_{22} \end{bmatrix} \quad (19)$$

که در آن، مؤلفه‌های F_{ij} به صورت (20) تا (26) حاصل می‌شوند:

$$F_{11} = \partial \dot{q} / \partial q = \frac{1}{2} \Omega(\omega) \quad (20)$$

$$F_{12} = \partial \dot{q} / \partial \omega = \frac{1}{2} R(q) \quad (21)$$

$$F_{21} = \partial \dot{\omega} / \partial q = 0_{3 \times 4} \quad (22)$$

$$F_{22} = \partial \dot{\omega} / \partial \omega = -I_{\text{sat}}^{-1} [\eta_1 \quad \eta_2 \quad \eta_3] \quad (23)$$

$$\eta_1 = \begin{bmatrix} I_{xz}\omega_y - I_{xy}\omega_z \\ -2I_{xz}\omega_x - I_{yz}\omega_y + (I_{zz} - I_{xx})\omega_z \\ 2I_{xy}\omega_x + (I_{xx} - I_{yy})\omega_y + I_{yz}\omega_z \end{bmatrix} \quad (24)$$

$$\eta_2 = \begin{bmatrix} I_{xz}\omega_x + 2I_{yz}\omega_y + (I_{yy} - I_{zz})\omega_z \\ -I_{yz}\omega_x + I_{xy}\omega_z \\ (I_{xx} - I_{yy})\omega_x - 2I_{xy}\omega_y - I_{xz}\omega_z \end{bmatrix} \quad (25)$$

$$\eta_3 = \begin{bmatrix} -I_{xy}\omega_x + (I_{yy} - I_{xx})\omega_y - 2I_{yz}\omega_z \\ (I_{zz} - I_{xx})\omega_x + I_{xy}\omega_y + 2I_{xz}\omega_z \\ I_{yz}\omega_x - I_{xz}\omega_y \end{bmatrix} \quad (26)$$

2- فیلتر کالمن توسعه یافته برای تخمین وضعیت ماهواره مدار پایین زمین

تخمین گر حالت به صورت (27) در نظر گرفته می‌شود [35]:

$$\hat{x}_{k+1} = f(\hat{x}_k, u_k) + K_k(y_k - h(\hat{x}_k)) \quad (27)$$

را با توجه به رابطه (13) می‌توان به صورت (28) نوشت:

$$f(\hat{x}_k, u_k) = \Phi_k \hat{x}_k + \Gamma_k u_k \quad (28)$$

$X_0 Y_0 Z_0$ و همچنین سیستم مختصات بدنه ماهواره $X_b Y_b Z_b$ به صورت شکل 3 انتخاب می‌گردد.

وضعیت ماهواره که معرف میزان دوران سیستم مختصات بدنه نسبت به مختصات مرجع مداری است با در نظر گرفتن توالی $1 \rightarrow 2 \rightarrow 3$ به صورت ماتریس تبدیل A_q به دست می‌آید [2]:

$$A_q = \begin{bmatrix} q_1^2 - q_2^2 - q_3^2 + q_4^2 & 2(q_1 q_2 + q_3 q_4) & 2(q_1 q_3 - q_2 q_4) \\ 2(q_1 q_2 - q_3 q_4) & -q_1^2 + q_2^2 - q_3^2 + q_4^2 & 2(q_2 q_3 + q_1 q_4) \\ 2(q_1 q_3 + q_2 q_4) & 2(q_2 q_3 - q_1 q_4) & -q_1^2 - q_2^2 + q_3^2 + q_4^2 \end{bmatrix}$$

2-1-2- معادلات غیرخطی دینامیک وضعیت ماهواره

معادلات غیرخطی دینامیک ماهواره به صورت (1) و (2) بیان می‌شود [17]:

$$\begin{bmatrix} \dot{q}(t) \\ \dot{\omega}(t) \end{bmatrix} = \begin{bmatrix} \frac{1}{2} \Omega(\omega(t)) q(t) \\ I_{\text{sat}}^{-1} [-S(\omega(t)) I_{\text{sat}} \omega(t) + T_{\text{dist}} + T_{\text{ctrl}}] \end{bmatrix} \quad (1)$$

$$\begin{bmatrix} q(t) \\ \omega(t) \end{bmatrix} = h_{\text{sat}} \begin{bmatrix} q(t) \\ \omega(t) \end{bmatrix} \quad (2)$$

که در آن، $q = (q_1 \ q_2 \ q_3 \ q_4)^T$ بردار پارامترهای کوانتیون، $\omega = (\omega_x \ \omega_y \ \omega_z)^T$ بردار سرعت‌های زاویه‌ای، I_{sat} ماتریس ممان اینرسی ماهواره، h_{sat} ماتریس اندازه‌گیری، T_{dist} بردار گشتاورهای اغتشاشی محیطی و T_{ctrl} بردار گشتاور کنترلی اعمالی بر حسب قانون کنترل است.

نیز ماتریس‌های حاصل ضربی به صورت (3) و (4) هستند:

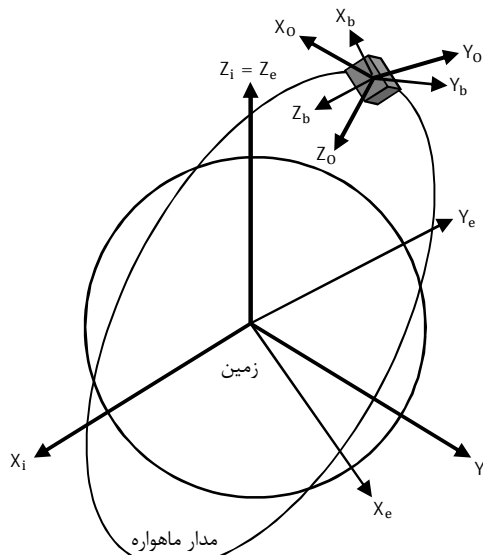
$$\Omega(\omega) = \begin{bmatrix} 0 & \omega_z & -\omega_y & \omega_x \\ -\omega_z & 0 & \omega_x & \omega_y \\ \omega_y & -\omega_x & 0 & \omega_z \\ -\omega_x & -\omega_y & -\omega_z & 0 \end{bmatrix} \quad (3)$$

$$S(\omega) = \begin{bmatrix} 0 & -\omega_z & \omega_y \\ \omega_z & 0 & -\omega_x \\ -\omega_y & \omega_x & 0 \end{bmatrix} \quad (4)$$

در معادله دینامیک، (t) را می‌توان به صورت (5) و (6) نوشت:

$$\dot{q}(t) = \frac{1}{2} R(q) \omega(t) \quad (5)$$

$$R(q) = \begin{bmatrix} q_4 & -q_3 & q_2 \\ q_3 & q_4 & -q_1 \\ -q_2 & q_1 & q_4 \\ -q_1 & -q_2 & -q_3 \end{bmatrix} \quad (6)$$



شکل 3 نمایش سیستم‌های مختصات برای ماهواره

$$y_{MM} = B_{meas}(k) = A_q B_o \quad (46)$$

و B_o نیز میدان مغناطیسی زمین در سیستم مختصات مداری است، در نتیجه با مشتق‌گیری از ماتریس تبدیل A_q به صورت (47) تا (51) خواهد شد:

$$H_{MM} = [H_{MM_1} \ H_{MM_2} \ H_{MM_3} \ H_{MM_4} \ 0_{3 \times 3}] \quad (47)$$

$$H_{MM_1} = 2 \begin{bmatrix} q_1 & q_2 & q_3 \\ q_2 & -q_1 & q_4 \\ q_3 & -q_4 & -q_1 \end{bmatrix} B_o \quad (48)$$

$$H_{MM_2} = 2 \begin{bmatrix} q_1 & q_2 & q_3 \\ q_4 & q_3 & -q_2 \\ -q_2 & q_1 & -q_4 \end{bmatrix} B_o \quad (49)$$

$$H_{MM_3} = 2 \begin{bmatrix} q_1 & q_2 & q_3 \\ -q_4 & -q_3 & q_2 \\ q_1 & q_2 & q_3 \end{bmatrix} B_o \quad (50)$$

$$H_{MM_4} = 2 \begin{bmatrix} q_1 & q_2 & q_3 \\ q_4 & q_3 & -q_2 \\ -q_3 & q_4 & q_1 \end{bmatrix} B_o \quad (51)$$

و (k) نیز ماتریس نویز حس‌گر مغناطیسی با میانگین صفر و کواریانس $m_{MM}(k) = N(0, R_{MM})$ است.

2-3-2- حس‌گر خورشیدی

این حس‌گر، زوایای خورشید را در سیستم مختصات بدنه ماهواره اندازه گرفته و خروجی آن بردار خورشید با مدل اندازه‌گیری (52) است:

$$y_{SS} = S_{meas}(k) = h_{SS}(x_k, v_k, k) = H_{SS}(k)x_k + m_{SS}(k) \quad (52)$$

ماتریس اندازه‌گیری حس‌گر خورشید به صورت (53) به دست می‌آید:

$$H_{SS} = \partial h_{SS} / \partial x \quad (53)$$

در اینجا مشابه (46)، برای بیان رابطه‌ای بین خروجی حس‌گر خورشید با وضعیت ماهواره، از مدل مرجع بردار خورشید در سیستم مختصات مداری و بیان آن در سیستم مختصات بدنه ماهواره به صورت (54)، استفاده می‌شود:

$$y_{SS} = S_{meas}(k) = A_q S_o \quad (54)$$

که S_o بردار خورشید در سیستم مختصات مداری است. در نتیجه H_{SS} مشابه (47) با مشتق‌گیری از ماتریس تبدیل A_q به صورت (55) خواهد شد:

$$H_{SS} = [H_{SS_1} \ H_{SS_2} \ H_{SS_3} \ H_{SS_4} \ 0_{3 \times 3}] S_o \quad (55)$$

که S_o برای $i = 1, 2, 3, 4$ دقیقاً H_{MM_i} متناظر خود برابر بوده و نیز ماتریس نویز حس‌گر خورشیدی با میانگین صفر و کواریانس R_{SS} به صورت (56) است.

در حالت نشانه‌روی غیردقیق، که دو حس‌گر مغناطیسی و خورشیدی باهم ترکیب می‌شوند، H_{Coarse_Mode} و R_{Coarse_Mode} به صورت (57) و (58) می‌شود:

$$R_{Coarse_Mode} = \begin{bmatrix} I_{3 \times 3} R_{MM} & 0_{3 \times 3} \\ 0_{3 \times 3} & I_{3 \times 3} R_{ST} \end{bmatrix} \quad (56)$$

$$H_{Coarse_Mode} = \begin{bmatrix} H_{MM} \\ H_{SS} \end{bmatrix} \quad (57)$$

2-3-3- حس‌گر ژایرو

این حس‌گر به طور مستقیم، نرخ تغییرات وضعیت ماهواره را اندازه گرفته و خروجی آن سرعت‌های ژاویه‌ای با مدل اندازه‌گیری (58) است:

$$y_{GR} = \omega_{meas}(k) = h_{GR}(x_k, v_k, k) = H_{GR}(k)x_k + m_{GR}(k) \quad (58)$$

که H_{GR} ماتریس اندازه‌گیری حس‌گر ژایرو، به صورت (59) به دست می‌آید:

$$H_{GR} = \partial h_{GR} / \partial x = [0_{3 \times 4} \ | \ I_{3 \times 3}] \quad (59)$$

و (k) نیز ماتریس نویز حس‌گر ژایرو با میانگین صفر و کواریانس R_{GR} به صورت (60) است.

\hat{x}_k به عنوان تخمین حالت x_k با استفاده از فیلتر کالمن توسعه یافته دو گامی به صورت (29) تا (33) به دست می‌آید:

$$K_k = P_k^- H_k^T (H_k P_k^- H_k^T + R_k)^{-1} \quad (29)$$

$$\hat{x}_k = \hat{x}_k^- + K_k (y_k - H_k \hat{x}_k^-) \quad (30)$$

$$P_k = (I - K_k H_k) P_k^- (I - K_k H_k)^T + K_k R_k K_k^T \quad (31)$$

$$\hat{x}_k^- = \hat{\Phi}_k \hat{x}_k + \Gamma_k u_k \quad (32)$$

$$P_k^- = \hat{\Phi}_k P_k \hat{\Phi}_k^T + E_k Q_k E_k^T \quad (33)$$

که $\hat{\Phi}_k$ ماتریس کوتاه شده Φ_k تا مرتبه دوم به صورت (34) است:

$$\hat{\Phi}_k = I + F_k \Delta T + \frac{1}{2} F_k^2 \Delta T^2 \quad (34)$$

و E_k ، Q_k و R_k به ترتیب ماتریس‌های نویز کواریانس، پردازش، مدل‌سازی و اندازه‌گیری هستند که به صورت $R_k = E[w_k w_k^T]$ و $Q_k = E[v_k v_k^T]$ تعريف می‌شوند. با تعریف خطای تخمین به صورت (35) داریم:

$$\xi_{k+1} = x_{k+1} - \hat{x}_{k+1} = (f(x_k, u_k) + G_k w_k) - (f(\hat{x}_k, u_k) + K_k (y_k - h(\hat{x}_k))) = (F_k - K_k H_k) \xi_k + r_k + s_k \quad (35)$$

که در آن، توابع r_k و s_k عبارتند از:

$$r_k = \varphi(x_k, \hat{x}_k, u_k) - K_k \chi(x_k, \hat{x}_k) \quad (36)$$

$$s_k = G_k w_k - K_k D_k v_k \quad (37)$$

$$\varphi(x_k, \hat{x}_k, u_k) = \left(I + \frac{1}{2} F_k^2 \Delta T^2 + \frac{1}{3!} F_k^3 \Delta T^3 + \dots \right) \xi_k \quad (38)$$

به دلیل خطی بودن $h(x_k) - \chi(x_k, \hat{x}_k) = 0$ عبارت $h(x_k)$ خواهد بود. برای ایجاد هم‌گرایی سریع در فیلتر کالمن، واکنش سریع به تغییرات و تنظیم فیلتر برای پیشینه‌سازی حذف نویز، با اضافه کردن پارامتر α به معادله هروزرسانی زمان کواریانس، رابطه (33) به صورت (39) اصلاح می‌شود:

$$P_k^- = \alpha(k) \hat{\Phi}_k P_k \hat{\Phi}_k^T + E_k Q_k E_k^T \quad (39)$$

که تابع $\alpha(k)$ برای $k > 0$ دارای چند ویژگی به صورت (40) تا (42) است:

$$\alpha(k) > 0 \quad (40)$$

$$\alpha(k) \geq \alpha(k+1) \quad (41)$$

$$\lim_{k \rightarrow \infty} \alpha(k) \rightarrow 0 \quad (42)$$

یک تابع کاندید $\alpha(k)$ به صورت رابطه ساده (43) پیشنهاد می‌گردد:

$$\alpha(k) = \alpha_0 / (k - k_0) \quad (43)$$

مدار α_0 و k_0 لحظه تغییر حالت است. توابع حقیقی دیگری هم که ویژگی (40) تا (42) را داشته باشند می‌توانند جایگزین شوند.

3-2- مدل حس‌گرهای

2-3-1- حس‌گر مغناطیسی

این حس‌گر، میدان مغناطیسی زمین را در سیستم مختصات بدنه ماهواره اندازه گرفته و خروجی آن بردار میدان مغناطیسی با مدل (44) است:

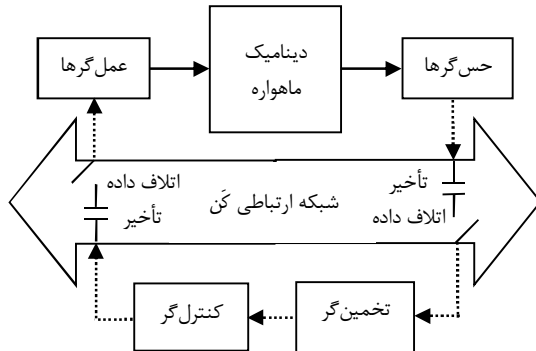
$$y_{MM} = B_{meas}(k) = h_{MM}(x_k, v_k, k) = H_{MM}(k)x_k + m_{MM}(k) \quad (44)$$

که H_{MM} ماتریس اندازه‌گیری حس‌گر مغناطیسی به صورت (45) به دست می‌آید:

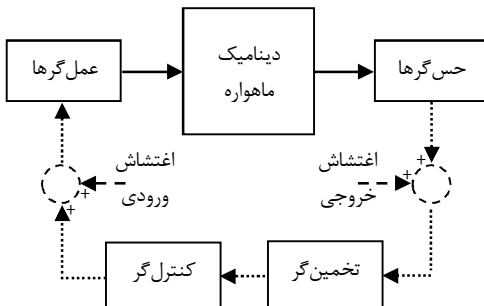
$$H_{MM} = \partial h_{MM} / \partial x = [\partial h_{MM} / \partial q \quad \partial h_{MM} / \partial \omega] \quad (45)$$

از آنجا که حس‌گر مغناطیسی به طور مستقیم وضعیت ماهواره را اندازه نمی‌گیرد لذا باید به دنبال رابطه‌ای بین خروجی آن با وضعیت ماهواره بود.

بدین منظور، با داشتن مدل مرجع میدان مغناطیسی زمین، در سیستم مختصات مداری و بیان آن در سیستم مختصات بدنه ماهواره، ماتریس تبدیل A_q ظاهر می‌شود که مطابق رابطه (46) وضعیت را در بر دارد:



شکل 4 نحوه تبادل داده و مدل‌سازی شبکه بهصورت تأخیر و اتلاف داده



شکل 5 مدل شبکه بهصورت اغتشاش در هر دو کانال ورودی و خروجی

از درون سیمپیج آن تولید ممان مغناطیسی می‌کند. ممان مغناطیسی بهصورت تابع خطی مرتبه اول (66) دارای سطح اشباع مدل می‌گردد:

$$M_{\min} \leq M_{\text{MT}} = K_{\text{MT}} i_{\text{MT}} e^{-t/\tau_{\text{MT}}} \leq M_{\max} \quad (66)$$

که M_{MT} ممان مغناطیسی تولیدی توسط گشتاوردهنده مغناطیسی، i_{MT} جریان عبوری از سیمپیج، K_{MT} ضریب مقیاس، M_{\max} و M_{\min} بهترتیب مقادیر کمینه و بیشینه ممان مغناطیسی است. ثابت زمانی سیمپیج گشتاوردهنده است. گشتاور کنترلی $T_{\text{ctrl}}^{\text{RW}}$ حاصل از سه گشتاوردهنده متعامد در تداخل با میدان مغناطیسی زمین بهصورت رابطه (67) بدست می‌آید:

$$T_{\text{ctrl}}^{\text{MT}}(t) = M_{\text{MT}} \times B \quad (67)$$

برای محاسبه ممان مورد نیاز از رابطه تقریبی (68) استفاده می‌شود:

$$M_{\text{MT}} = B \times T_{\text{ctrl}}^{\text{MT}}(t) / \|B\|^2 \quad (68)$$

2-5-2- چرخ عکس‌العملی

این عمل‌گر که از موتور و چرخ طیار تشکیل شده نیز بهصورت تابع خطی مرتبه اول (69) دارای سطح اشباع مدل می‌گردد:

$$T_{\min} \leq T_{\text{ctrl}}^{\text{RW}} = K_{\text{RW}} i_{\text{RW}} e^{-t/\tau_{\text{RW}}} \leq T_{\max} \quad (69)$$

گشتاور تولیدی توسط چرخ عکس‌العملی، i_{RW} جریان راهاندازی موتور، K_{RW} ضریب مقیاس، T_{\min} و T_{\max} بهترتیب مقادیر کمینه و بیشینه گشتاور چرخ عکس‌العملی است. τ_{RW} نیز ثابت زمانی موتور چرخ عکس‌العملی است. گشتاور کنترلی چرخ عکس‌العملی بهصورت رابطه (70) در معادلات دینامیکی وارد می‌شود:

$$T_{\text{ctrl}} = S(\omega) A_{\text{RW}} I_{\text{RW}} (\omega_{\text{RW}}(t) + A_{\text{a}}^T \omega(t)) \quad (70)$$

$$\dot{\omega}_{\text{RW}}(t) = I_{\text{RW}}^{-1} T_{\text{ctrl}}^{\text{RW}} - A_{\text{a}}^T \dot{\omega}(t)$$

که ω_{RW} سرعت زاویه‌ای یا نرخ چرخش، A_{RW} ماتریس تخصیص یا چیدمان و I_{RW} ماتریس ممان اینرسی چرخ‌های عکس‌العملی بوده و (t) در اصل همان h_{RW} ممنتوم زاویه‌ای چرخ عکس‌العملی است.

2-4-3-2- حس گر ستاره

این حس گر بهطور مستقیم، وضعیت ماهواره را اندازه گرفته و خروجی آن پارامترهای کواترنیون با مدل اندازه‌گیری (60) است:

$$y_{\text{ST}} = q_{\text{meas}}(k) = h_{\text{ST}}(x_k, v_k, k) = H_{\text{ST}}(k)x_k + m_{\text{ST}}(k) \quad (60)$$

که H_{ST} ماتریس اندازه‌گیری حس گر ستاره بهصورت (61) بهدست می‌آید:

$$H_{\text{ST}} = \partial h_{\text{ST}} / \partial x = [I_{4 \times 4} \quad 0_{4 \times 3}] \quad (61)$$

و (k) نیز ماتریس نویز حس گر ستاره با میانگین صفر و کواریانس R_{ST} بهصورت (62) است.

در حالت نشانه‌ روی دقیق، که دو حس گر ستاره و ژایرو باهم ترکیب می‌شوند، $H_{\text{Fine_Mode}}$ و $R_{\text{Fine_Mode}}$ بهصورت (62) و (63) خواهند شد:

$$R_{\text{Fine_Mode}} = \begin{bmatrix} I_{3 \times 3} R_{\text{GR}} & 0_{3 \times 4} \\ 0_{4 \times 3} & I_{4 \times 4} R_{\text{ST}} \end{bmatrix} \quad (62)$$

$$H_{\text{Fine_Mode}} = \begin{bmatrix} H_{\text{GR}} \\ H_{\text{ST}} \end{bmatrix} \quad (63)$$

2-4-2- مدل شبکه

مدل شبکه درون حلقه کنترل وضعیت ماهواره در شکل 4 نمایش داده شده است. وجود شبکه ممکن است در هر دو کانال حسگر به کنترل‌گر و کنترل‌گر به عملگر باعث ایجاد اتلاف داده و تأخیر شود. نحوه تبادل داده نیز بهصورت خطوط پیوسته و نقطه‌چین به ترتیب برای سیگنال پیوسته و گسسته مشخص شده است.

2-4-1- اتلاف داده

اتلاف داده ناشی از شبکه با استفاده از تعریف متغیر تصادفی برنولی γ_{k_Loss} بهصورت (64) مدل می‌شود [17]:

$$y_k = \gamma_{k_Loss} h(x_k) \quad (64)$$

که $\gamma_{k_Loss} = 0$ بیانگر وقوع اتلاف داده و $\gamma_{k_Loss} = 1$ بیانگر رسیدن صحیح بسته داده است. اتلاف داده ممکن است در هر دو کانال از حسگر به کنترل‌گر بهصورت γ_{sc} یا کنترل‌گر به عملگر بهصورت γ_{ca} رخ دهد.

2-4-2- تأخیر

تأخیر نیز با به کارگیری متغیر تصادفی γ_{k_delay} بهصورت (65) مدل می‌شود:

$$y_k = \gamma_{k_delay} h(x_k) + (1 - \gamma_{k_delay}) h(x_{k-1}) \quad (65)$$

که $\gamma_{k_delay} = 0$ بیانگر وجود تأخیر و $\gamma_{k_delay} = 1$ بیانگر رسیدن موقعیت بسته داده بوده و $h(x_{k-1})$ اندازه‌گیری لحظه قبل است. تأخیر ممکن است در هر دو کانال از حسگر به کنترل‌گر (τ_{sc}) یا کنترل‌گر به عملگر (τ_{ca}) رخ دهد.

2-4-3-3- مدل شبکه بهصورت اغتشاش

دو عامل تأخیر و اتلاف داده در شبکه سبب می‌شوند حالت (خروجی) و گشتاور کنترلی (ورودی) از مقدار واقعی که متناسب با وضعیت جاری سیستم است، انحراف داشته باشند؛ بنابراین مطابق شکل 5، اثرات شبکه بهصورت اغتشاش کردن دار در هر دو کانال ورودی و خروجی مدل می‌شود.

2-5-2- مدل عمل‌گرها

2-5-1- گشتاوردهنده مغناطیسی

این عمل‌گر از هسته، سیمپیج و راهانداز جریان تشکیل شده و با عبور جریان

$$P_c = \frac{1}{2} \begin{bmatrix} 2(k_p + ck_d) & c\|L_{sat}\| \\ c\|L_{sat}\| & \mu_l \end{bmatrix} \quad (77)$$

μ_l به صورت $\inf_{\|v\|=1} v \cdot L_{sat} v$ تعریف می‌شود که مثبت بوده و P_c نیز مثبت است اگر c به اندازه کافی کوچک باشد. با مشتق گیری از (75) داریم:

$$\dot{V} = -ck_p\|q\|^2 - k_d\|\Delta\omega\|^2 + (\Delta\omega - cq)[\underline{S}(\omega)L_{sat}] \\ - L_{sat}\dot{\omega} - \frac{1}{2}c\Delta\omega L_{sat}[\Delta\omega \times q - q_4\Delta\omega + \omega \times q] \\ - cq\{\underline{S}(\Delta\omega)L_{sat}\Delta\omega + [\omega_{ref} \times L_{sat} - L_{sat}\omega_{ref}] \\ \Delta\omega\} \leq -x^T Q_c x + w^T x \leq -\lambda\|x\|^2 + \rho\|x\| \quad (78)$$

$$Q_c = \begin{pmatrix} ck_p & \frac{3}{2}\|L_{sat}\|\gamma_d \\ \frac{3}{2}\|L_{sat}\|\gamma_d & k_d - 2c\|L_{sat}\| \end{pmatrix} \quad (79)$$

$$\omega = \|L_{sat}\|(\|\dot{\omega}_{ref}\| + \|\omega_{ref}\|^2)^{\frac{1}{2}} \quad (80)$$

$$\rho = \sqrt{1 + c^2}\|L_{sat}\|(\|\dot{\omega}_{ref}\| + \|\omega_{ref}\|^2) \quad (81)$$

که $\|\omega_{ref}\| = \sup_{t \geq 0} \|\omega_{ref}(t)\|$ بوده و $\gamma_d = \lambda_{min}(Q_c) = \lambda$ کمترین مقادیر پیوسته Q_c است.

P_c و Q_c در این اثبات وابسته به ثابت c هستند که برای مثبت معین بودن باید به اندازه کافی کوچک باشد. از آنجا که c در قانون کنترل به کار گرفته نمی‌شود؛ بنابراین می‌تواند به طور دلخواه به قدر کافی کوچک انتخاب شود. به علاوه، با گرفتن انتگرال از دو طرف و جایه‌جایی برخی مؤلفه‌ها داریم:

$$\lambda \int_0^t \|x(s)\|^2 ds - \int_0^t \rho(s)\|x(s)\|ds \leq V_0 \quad (82)$$

و سپس با به کار گیری نامعادله شوارتز و با استفاده از فرض اینکه $\rho_1 \in L_2$ است، داریم:

$$\lambda\|x\|_{L_2}^2 \leq V_0 + \int_0^t \rho(s)\|x(s)\|ds \quad (83)$$

که کرانی روی $\|x\|_{L_2}$ می‌دهد:

$$\|x\|_{L_2} \leq \left[\frac{1}{\lambda} \left(V_0 + \frac{\|\rho\|_{L_2}^2}{4\lambda} \right) \right]^{1/2} + \frac{\|\rho\|_{L_2}}{2\lambda} \quad (84)$$

نامساوی فوق نشان می‌دهد که $x \in L_2[0, \infty)$ بوده و با جای گذاری آن در انتگرال (82)، بیان می‌کند که V در طول زمان به طور یکنواخت کران دار است. از معادله حرکت ماهواره، هم به طور یکنواخت کران دار خواهد بود و بنابراین x به طور یکنواخت پیوسته است. با استفاده از لم باریالات، می‌توان بیان کرد که $x \rightarrow 0$ می‌شود، همچنان که $t \rightarrow \infty$ می‌رود؛ از این رو کنترل‌گر به طور فراگیر پایدار مجانبی است.

۵-۱-۲-۱-۲- پایداری مجانبی فراگیر کنترل‌گر تنااسبی - مشتقی وابسته به مدل قضیه ۲- قانون کنترل ارائه شده در رابطه (72) را ملاحظه نمایید.

اگر $k_d > \gamma_1\gamma_d$ باشد، که γ_1 است، آنگاه Δq و $\Delta\omega$ با $t \rightarrow \infty$ به سمت صفر همگرا می‌شوند. اگر $+1 \rightarrow q_4 \rightarrow \infty$ با $t \rightarrow \infty$ برود، آنگاه همگرایی از نرخ نمایی بوده و سیستم به طور فراگیر پایدار است. یک شرط کافی برای پایداری چنین است:

$$\frac{1}{2}\Delta\omega(0)L_{sat}\Delta\omega(0) < 2k_p(1 + q_4(0)) \quad (85)$$

ایثاث این قضیه مشابه اثبات قضیه قبلی است. با ملاحظه تابع کاندید لیپاپونوف مشابه و گرفتن مشتق و جای گذاری قانون کنترل، داریم:

$$\dot{V} \leq -x^T Q_c x \quad (86)$$

$$Q_c = \begin{pmatrix} ck_p & \frac{1}{2}\gamma_1\gamma_d c \\ \frac{1}{2}\gamma_1\gamma_d c & k_d - \gamma_1\gamma_d - \gamma_1 c \end{pmatrix} \quad (87)$$

اگر $k_d > \gamma_1\gamma_d$ نامساوی نماید، آنگاه محدوده‌ای از c به اندازه

۳- طراحی کنترل‌گر برای ماهواره مدار پایین زمین

۳-۱- کنترل‌گر تنااسبی - مشتقی مستقل از مدل

این نوع کنترل‌گر، به صورت (71) طرح می‌شود:

$$T_{ctrl} = k_p A_a^+ \Delta q + k_d A_a^+ \Delta\omega \quad (71)$$

که $\Delta\omega = \omega_{ref} - \omega$ و $\Delta q = q_{ref} - q$ به ترتیب بیانگر خطای وضعیت و سرعت‌های زاویه‌ای ماهواره نسبت به وضعیت مرجع q_{ref} هستند. $q = (q_1 \ q_2 \ q_3)^T$ می‌شود. A_a ماتریس تخصیص عمل گرها بوده که با توجه به چیدمان کواترنیون است. A_a^+ ماتریس معکوس A_a بوده که به صورت $A_a^+ = A_a^T (A_a A_a^T)^{-1}$ مشتقی به صورت ثابت‌های مثبت بوده و بایستی تعیین شوند.

۳-۲- کنترل‌گر تنااسبی - مشتقی وابسته به مدل

با قانون کنترل تنااسبی - مشتقی مستقل از مدل، فراهم کردن عملکردهای رديابی مطلوب بپوشاند با حضور اثرات اغتشاش ناشی از شبکه، امکان پذیر نیست. در نتیجه قانون کنترل تنااسبی - مشتقی وابسته به مدل با اضافه کردن مدل ديناميک ماهواره به قانون کنترل (71)، به صورت (72) پیشنهاد می‌گردد:

$$T_{ctrl} = k_p A_a^+ \Delta\hat{q} + k_d A_a^+ \Delta\hat{\omega} + \underline{S}(\omega)(L_{sat}\omega) \quad (72)$$

در این حالت با توجه به وجود ساختاری از گشتاور کنترلی ناشی از تغییرات سیستم و اثر اغتشاشی شبکه، ایجاد شده و گشتاور مطلوب محاسبه می‌شود.

۴- پایداری فیلتر کالمون توسعه یافته

تعريف ۱ [24]- گفته می‌شود فرآيند اتفاقی ξ کران دار نمایی در مجموع مربعات است اگر اعداد حقیقی $\eta, \nu < 0$ و $\vartheta < 0$ وجود داشته باشد به طوری که رابطه (73) برقرار باشد:

$$E\{\|\xi_k\|^2\} \leq \eta\|\xi_0\|^{2\vartheta} n + \nu \quad (73)$$

تعريف ۲ [24]- فرآيند اتفاقی ξ با احتمال ۱ کران دار گفته می‌شود اگر: $\sup_{n \geq 0} \|\xi_k\| < \infty$ (74)

۵- اصل جداسازی غیرخطی برای فیلتر و کنترل‌گر ماهواره

۵-۱- پایداری کنترل‌گرهای بازخور

۵-۱-۱-۱- پایداری مجنبی فراگیر کنترل‌گر تنااسبی - مشتقی مستقل از مدل در این بخش امکان استفاده از پایدارساز مجنبی کلی کنترل‌گر تنااسبی - مشتقی با استفاده از کواترنیون واحد برای کلاسی از مسیرهای مطلوب نشان داده می‌شود.

قضیه ۱- قانون کنترل ارائه شده در رابطه (71) را ملاحظه نمایید. با تعريف $\rho_1 \in L_2[0, \infty) \cap L_\infty[0, \infty)$ ، اگر $\|\dot{\omega}_{ref}\| + \|\omega_{ref}\|^2$ به سمت صفر همگرا می‌شوند.

ایثاث- تابع کاندید لیپاپونوف به صورت (75) تا (77) در نظر گرفته می‌شود:

$$V = (k_p + ck_d)((q_4 - 1)^2 + q^T q) + \frac{1}{2}\Delta\omega L_{sat}\Delta\omega - cq L_{sat}\Delta\omega \quad (75)$$

$$V \geq \left[\frac{\|q\|}{\|\Delta\omega\|} \right]^T P_c \left[\frac{\|q\|}{\|\Delta\omega\|} \right] = x^T P_c x \quad (76)$$

آنچه که سیستم \tilde{E}_k مثالی بوده و هر دو زیرسیستم پایدار مجانبی هستند، با استفاده از نتایج پایدار مجانبی (محلي)، استتباط می‌شود که دینامیک غیرخطی پایدار مجانبی است. همچنین با توجه به اینکه خطای تخمین همگرای نمایی است، استنتاج می‌شود که \tilde{E}_k پایدار مجانبی (محلي) است. از این‌رو، اثبات شد که سیستم حلقه بسته کلی، پایدار مجانبی فراگیر است.

6- شبیه‌سازی

در این بخش، نتایج شبیه‌سازی فیلتر و کنترل‌گر طراحی و اعمال شده بر روی یک ماهواره نمونه فعل در مدار با مشخصات جدول 2 با توجه به مرجع [5] و مراجع [44-41]، ارائه می‌شود. ممان اینرسی ماهواره و چرخ عکس‌العملی به صورت (94) و (95) هستند:

$$I_{\text{sat}} = \begin{bmatrix} 9.82 & -0.07 & -0.29 \\ -0.07 & 9.70 & -0.10 \\ -0.29 & -0.10 & 9.73 \end{bmatrix} \quad (94)$$

$$I_{\text{RW}} = \begin{bmatrix} 0.0008 & 0 & 0 & 0 \\ 0 & 0.0008 & 0 & 0 \\ 0 & 0 & 0.0008 & 0 \\ 0 & 0 & 0 & 0.0008 \end{bmatrix} \quad (95)$$

حالت بهینه چیدمان 4 حسگر خورشیدی (با میدان دید 70° درجه برای پوشش کامل کروی)، 4 حسگر ژایرو و 4 چرخ عکس‌العملی، به صورت هر چهار ضلعی منتظم با زاویه رأس α مطابق رابطه (96) به دست می‌آید:

$$\alpha = \cos^{-1}(-1/3) = 109.47 \quad (96)$$

ماتریس تخصیص چرخ‌های عکس‌العملی به صورت (97) خواهد بود:

$$A_{\text{wheels}} = \begin{bmatrix} \frac{\sqrt{3}}{3} & -\frac{\sqrt{3}}{3} & -\frac{\sqrt{3}}{3} & \frac{\sqrt{3}}{3} \\ \frac{\sqrt{3}}{3} & -\frac{\sqrt{3}}{3} & \frac{\sqrt{3}}{3} & -\frac{\sqrt{3}}{3} \\ \frac{\sqrt{3}}{3} & \frac{\sqrt{3}}{3} & -\frac{\sqrt{3}}{3} & -\frac{\sqrt{3}}{3} \\ \frac{\sqrt{3}}{3} & \frac{\sqrt{3}}{3} & \frac{\sqrt{3}}{3} & \frac{\sqrt{3}}{3} \end{bmatrix} \quad (97)$$

مشخصات حسگرها و عمل‌گرهای انتخابی در جدول 3 ارائه شده است.

بر این اساس، مقدار پارامترهای ماتریس کواریانس نویز اندازه‌گیری با توجه به مراجع [44-41]، به صورت (98) تا (101) بیان می‌شوند:

$$R_{\text{MM}} = (200 \times 10^{-9})^2 \quad (98)$$

$$R_{\text{SS}} = (0.1 \times \pi / 180)^2 \quad (99)$$

$$R_{\text{GR}} = (0.001 \times \pi / 180)^2 \quad (100)$$

$$R_{\text{ST}} = (0.01 \times \pi / 180)^2 \quad (101)$$

مقادیر پارامترهای ماتریس کواریانس نویز مدل‌سازی و پردازش با توجه به مراجع [44-41]. به صورت (102) تا (105) بیان می‌شوند:

$$Q = 1 \times 10^{-4} \text{diag}(q_{\text{noise}}, \omega_{\text{noise}}) \quad (102)$$

$$q_{\text{noise}} = \frac{\Delta T^3}{12} \text{diag}\left(\frac{1}{I_{xx}^2}, \frac{1}{I_{yy}^2}, \frac{1}{I_{zz}^2}, \left(\frac{q_1^2}{I_{xx}^2} + \frac{q_2^2}{I_{yy}^2} + \frac{q_3^2}{I_{zz}^2}\right)\right) \quad (103)$$

$$\omega_{\text{noise}} = \Delta T \text{diag}\left(\frac{1}{I_{xx}^2}, \frac{1}{I_{yy}^2}, \frac{1}{I_{zz}^2}\right) \quad (104)$$

$$E_k = \text{diag}(\Delta T)_{7 \times 7} \quad (105)$$

که ΔT به عنوان دوره زمانی نمونه‌برداری برابر $0/1$ ثانیه انتخاب شده است.

اغتشاش ناشی از اثرات شبکه با عنوان $T_{\text{dist_Net}}$ که با شبیه‌سازی و تست برای بیشینه کردن تأخیر مجاز به صورت رابطه (106) مدل می‌گردد:

$$T_{\text{dist_Net}} = 0.02e^{-0.02t} \sin(0.4t) \quad (106)$$

گشتاورهای اغتشاشی محیطی T_{dist} شامل فشار تشعشعات خورشیدی، فشار آبرو دینامیکی، گرادیان جاذبه‌ای و مغناطیسی براساس روابط ارائه شده در

کافی کوچک وجود دارد به طوری که 0_c معین مثبت باشد. با استفاده از لم باربالات، می‌توان بیان کرد که $0 \rightarrow x$ همگرا می‌شود همچنان که $t \rightarrow \infty$ می‌رسد.

موضوع بعدی اثبات نرخ همگرایی نمایی است. در اینجا مسئله دارای نقاط تعادل متعدد مورد بررسی است، به طوری که پایداری فراگیر به جای محلی بیان می‌شود. زمانی که $0 \rightarrow \|q\|$ می‌رود مقدار q_4 می‌تواند $+1$ یا -1 باشد. مسئله تعیین نقطه تعادلی است که سیستم متمایل به آن بوده یا ناگزیر به یکی از آن‌ها تحمیل می‌شود. فرض می‌شود که $q_4 \rightarrow +1$ و $q_4(t) \geq 0$ برای تمام $T \geq 0$ شود. آنگاه زمان نهایت T وجود دارد به طوری که $q_4(t) \leq 1$ است، برای $t \geq T$ داریم:

$$\|q\|^2 = 1 - q_4^2 \geq 1 - q_4 \geq (1 - q_4)^2 \quad (88)$$

آنگاه می‌توان نشان داد که:

$$\|q\|^2 = \frac{1}{2} \|q\|^2 + \frac{1}{2} \|q\|^2 \geq \frac{1}{2} \|q\|^2 + (1 - q_4)^2 \quad (89)$$

و سپس $0 > \lambda$ برای تمام $t \geq T$ وجود دارد، به طوری که:

$$\dot{V} \leq -\lambda V \quad (90)$$

و از این‌رو، $\|q\|$ و $\Delta\omega$ به طور نمایی به سمت صفر همگرا می‌شوند.

اگر از سوی دیگر، $1 \rightarrow q_4$ متمایل باشد، چنین نتیجه‌ای نمی‌تواند بیان شود. در این حالت، همچنان $(k_p + ck_d) \rightarrow 4(k_p + ck_d)$ متمایل بوده و اگر V باشد، وضعیت با $-1 \rightarrow q_4 < 0$ باشد، $V(0) < 0$ باشد، و V نمی‌تواند اتفاق بیفتد، چرا که V غیرافزایشی است. در نتیجه، این شرط (87) را برای همگرایی نمایی $V(t)$ به صفر می‌دهد:

$$\frac{1}{2} \Delta\omega(0) I_{\text{sat}} \Delta\omega(0) < k_p [4 - (1 - q_4(0))^2] - \|q(0)\|^2 = 2k_p [1 + q_4(0)] \quad (91)$$

5-3-1-3- پایداری حلقه بازخور کلی

در بخش‌های قبل، پایداری مجانبی کلی قوانین کنترل انتخابی برای ماهواره بررسی و اثبات شد. هدف این بخش اصل جداسازی غیرخطی برای سیستم حلقه بسته ترکیبی معادله دینامیک ماهواره، با فیلتر و کنترل‌گر ذکر شده است.

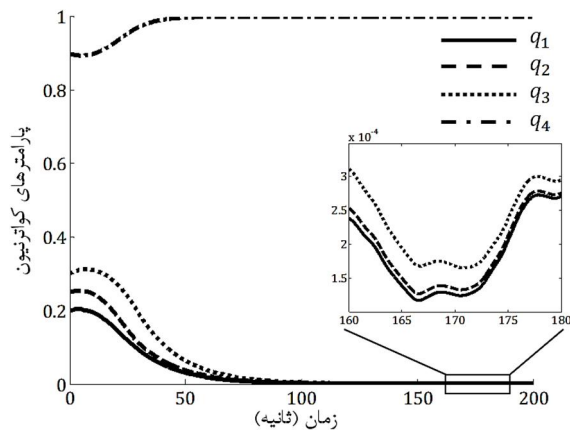
قضیه 3- اصل جداسازی براساس مدل خطی شده ماهواره برای سیستم \tilde{E}_k داده شده به صورت (92) و (93):

$$x_{k+1} = \Phi_k x_k + \Gamma_k u_k \quad (92)$$

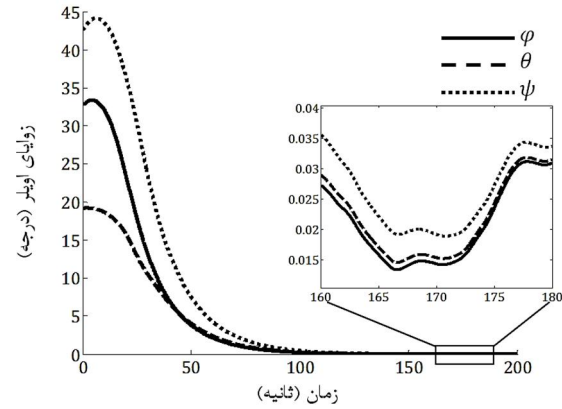
$$\hat{x}_{k+1} = \Phi_k \hat{x}_k + \Gamma_k u_k + K_k (y_k - h(\hat{x}_k)) \quad (93)$$

اگر کنترل‌گر u_k پایدار مجانبی فراگیر باشد، به طوری که x_k در \tilde{E} در مجموعه فشرده Ω برای تمام $k > 0$ باقی بماند، که مجموعه فشرده Ω نقطه تعادل کنترل‌گر u_k را در بر می‌گیرد، و اگر خطای تخمین $\xi_k = x_k - \hat{x}_k$ به طور نمایی برای تمام $k > 0$ به صفر همگرا شود (یعنی یک رؤیت‌گر نمایی) آنگاه برای تمام مقادیر حالت اولیه $x_0 \in \Omega$ ، سیستم \tilde{E} برای تمام $x_0 \in \Omega$ و به ازای $\hat{x}_0 \in \mathbb{R}^n$ و $P_0 > 0$ پایدار مجانبی فراگیر است؛ بنابراین تخمین‌گر و کنترل‌گر می‌توانند به طور جداگانه طراحی شوند تا وقتی که آن‌ها نیازمندی بیان شده در این قضیه را برآورده می‌نمایند.

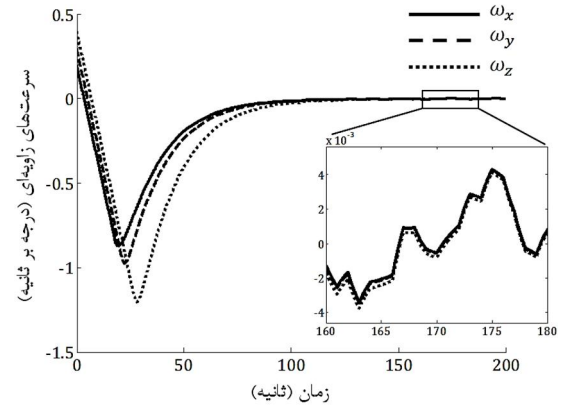
اثبات: براساس مرجع [21]، وقتی که تخمین‌گر نمایی شبیه فیلتر کالمون توسعه یافته پیشنهادی استفاده می‌شود، خطای تخمین به سمت صفر می‌کرده و بنابراین کران دار می‌شود. همچنین کواریانس خطای P_k که بهره کالمون K_k به آن بستگی دارد از بالا و پایین کران دار است و از این رو حالت (ξ_k, \hat{x}_k, P_k) از \tilde{E} در یک مجموعه فشرده در طول هر مسیری باقی ماند. از



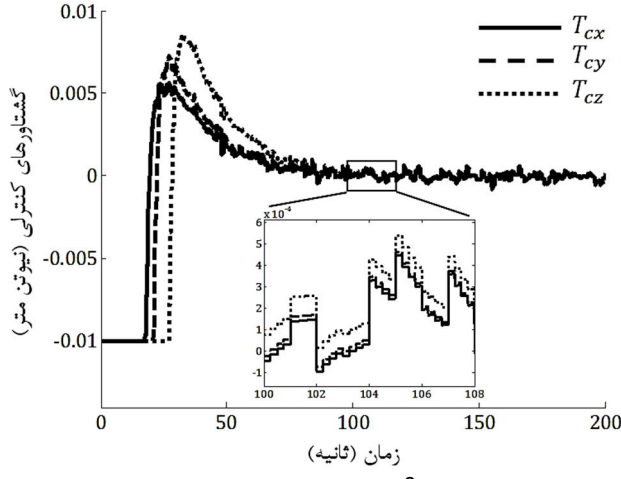
شکل 6 پارامترهای کواترنیون ماهواره با اعمال فیلتر و کنترل گر طراحی شده



شکل 7 زوایای اوبل ماهواره با اعمال فیلتر و کنترل گر طراحی شده



شکل 8 سرعت‌های زاویه‌ای ماهواره با اعمال فیلتر و کنترل گر



شکل 9 گشتاور کنترلی اعمالی به ماهواره

[۲،۱] در مدل سازی وارد شده‌اند که بیشترین مقدار مجموع آن‌ها برای این ماهواره، برابر $10^{-5} \text{ Nm} \times 5$ است.

ضرایب کنترل گر نیز از روابط (107) و (108) بدست می‌آیند:

$$k_{pj} = I_{jj} \omega_{\text{BW_CL}}^2 \quad (107)$$

$$k_{dj} = 2I_{jj} \omega_{\text{BW_CL}} \quad (108)$$

که I_{jj} ممان اینرسی اصلی ماهواره در راستای محور j ($j = x, y, z$) و $\omega_{\text{BW_CL}}$ پهنه‌ای باند مطلوب سیستم حلقه بسته است که در اینجا برای حصول پاسخ و سرعت مطلوب، برابر $0/2$ رادیان بر ثانیه در نظر گرفته شده است. نتایج شبیه‌سازی، در شکل‌های 6 تا 9 نمایش داده شده است. همچنانکه در شکل‌های 6 و 7 مشاهده می‌شود، وضعیت ماهواره پایدار شده و دقت بهتر از $0/05$ درجه حاصل شده است. در شکل 8 سرعت‌های زاویه‌ای ماهواره نمایش داده شده که در هر سه محور دقت پایداری بهتر از $0/005$ درجه بر ثانیه بهدست آمده است. در شکل 9 نیز گشتاور کنترلی اعمالی به ماهواره برای کنترل و پایدارسازی، آمده است که نشان می‌دهد بیشینه مقدار گشتاور اعمالی در محدوده اشعاع عملگرها قرار دارد. همچنین گشتاور کنترلی پس از پایدارسازی ماهواره نیز برای جبران و حذف اثر اغتشاش‌ها با هدف حصول و نگهداری دقت مورد نیاز حول هر سه محور، اعمال می‌گردد. برای نشان دادن دقت بهدست آمده در این مقاله، میانگین مجدد مربعات خطای تخمین بدون نامعینی و همچنین با وجود نامعینی به ازای ۱۰٪ تغییرات پارامترهای مختلف اعم از ممان‌های اینرسی، گشتاورهای اغتشاشی، کواریانس نویز فرآیند و کواریانس نویز اندازه‌گیری در جدول 4 ارائه شده و با مرجع [43] مقایسه گشته است. همچنان که مشاهده می‌شود، علاوه بر اینکه بهبودی نسبی حاصل شده، با وجود نامعینی در پارامترهای فوق، مقادیر میانگین مجدد مربعات خطای تخمین نسبت به حالت بدون وجود نامعینی، تغییرات کمی داشته و مقاوم بوده است. شرایط فوق، بهدلیل استفاده از ژایرو، فیلتر کالمن توسعه یافته دو گامی و اصلاح آن باتابع $\alpha(k)$ ایجاد شده است.

جدول 2 مشخصات و الزامات ماهواره فعال در مدار

پارامتر	مقدار	واحد
جرم ماهواره	120	کیلوگرم
ارتفاع مداری ماهواره	500	کیلومتر
دقت نشانه‌روی	0/1	درجه
دقت تعیین وضعیت	0/05	درجه
دقت پایداری	0/005	درجه بر ثانیه

جدول 3 مشخصات حس‌گرها و عملگرهای انتخابی

نوع حسگر/عملگر	محدوده	دقت	واحد
حس‌گر مغناطیسی	± 60000	10	نانوتسلا
حس‌گر خورشیدی	± 70	0/1	درجه
حس‌گر ژایرو فیبر نوری	± 8	0/001	درجه بر ثانیه
حس‌گر ستاره	12×12	0/01	درجه
گشتاوردهنده مغناطیسی	15	0/02	آمپر-متر مربع
چرخ عکس‌العملی	10	0/001	میلی‌نیوتن-متر

- [14] H. Li, Y. Shi, Output feedback predictive control for constrained linear systems with intermittent measurements, *Systems & Control Letters*, Vol. 62, pp. 345–354, 2013.
- [15] C. F. Caruntu, C. Lazar, Network delay predictive compensation based on time delay modelling as disturbance, *International Journal of Control*, Vol. 87, No. 10, pp. 2012–2026, 2014.
- [16] N. Herscovici, C. Christodoulou, V. Lappas, G. Prassinos, A. Baker, R. Magnus, Wireless Sensor Motes for Small Satellite Applications, *IEEE Antennas and Propagation Magazine*, Vol. 48, No. 5, pp. 175–179, 2006.
- [17] C. M. Pong, *High-Precision Pointing and Attitude Estimation and Control Algorithms for Hardware-Constrained Spacecraft*, PhD thesis, Department of Aeronautics and Astronautics, Massachusetts Institute of Technology (MIT), May 22, 2014.
- [18] J. T. Y. Wen, K. K. Delgado, The attitude control problem, *IEEE Transaction on Automatic Control*, Vol. 36, pp. 1148–1162, 1991.
- [19] A. N. Atassi, H. K. Khalil, A separation principle for the stabilization of a class of nonlinear systems, *IEEE Transactions on Automatic Control*, Vol. 44, No. 9, pp. 1672–1687, September 1999.
- [20] A. Loria, T. I. Fossen, E. A. Panteley, A separation principle for dynamic positioning of ships: Theoretical and experimental results, *IEEE Control System Technology*, Vol. 8, pp. 332–343, 2000.
- [21] A. N. Atassi, H. K. Khalil, A Separation Principle for the Control of a Class of Nonlinear Systems, *IEEE TRANSACTIONS ON AUTOMATIC CONTROL*, VOL. 46, NO. 5, pp. 742–746, MAY 2001.
- [22] H. Suzuki, N. Sakamoto, An Observer Design and Separation Principle for the Motion of the n-dimensional Rigid Body, *Trans. of the Society of Instrument and Control Engineers*, Vol. E-4, No. 1, pp. 44–51, 2005.
- [23] C. W. Park, S. Lee, Local separation principle for a special class of nonlinear systems, *International Mathematical Forum*, Vol. 1, No. 40, pp. 1983–1995, 2007.
- [24] S. Gunther, K. Reif, E. Yaz, R. Unbehauen, The extended kalman filter as an exponential observer for nonlinear systems, *IEEE Transaction on Signal Processing*, Vol. 47, No. 8, pp. 2324–2328, 1999.
- [25] A. J. Krener, The convergence of the extended Kalman Filter, *Directions in Mathematical Systems Theory and Optimization*, LNCIS 286, pp. 173–182, 2003.
- [26] S. H. M. Roknabadi, S. M. Mirshams, A. A. Nikkhah, Optimal Satellite Attitude Control with Reaction Wheel Actuators, *Journal of Space Science and Technology*, Vol. 2, No. 5, pp. 35–42, 2009. (In Persian).
- [27] H. Bolandi, F. F. Saberi, Design of a LEO Satellite Attitude Estimation using multiple models Adaptive method and comparison with extended kalman filter, *Journal of Space Science and Technology*, Vol. 2, No. 4, pp. 17–26, 2009. (In Persian).
- [28] F. Pirooamand, N. Ghahremani, M. R. Aravan, Robust Predictive Controller Design using Linear Matrix Inequalities for Satellite Attitude Control system, *Tabriz Journal of Electrical Engineering*, Vol. 44, No. 4, pp. 9–21, 2014. (In Persian).
- [29] M. Fakoor, A. R. Kosari, Saleh Gh. H., Identification of Moment of inertia and parameters of gyroscope tuning for the geostationary satellite using an extended Kalman filter, *Journal of Space Science and Technology*, Vol. 6, No. 2, pp. 67–74, 2013. (In Persian).
- [30] A. R. Kosari, M. Peyrovani, M. Fakoor, H. Nejat, Design of LOG/LTR controller for attitude control of geostationary satellite using Reaction Wheels, *Modares Mechanical Engineering*, Vol. 13, No. 14, pp. 1–10, 2014 (In Persian).
- [31] A. R. Kosari, M. Peyrovani, M. Fakoor, H. Nejat, Design of LOG/LTR controller for attitude control of geostationary satellite using reduced quaternion model, *Modares Mechanical Engineering*, Vol. 14, No. 6, pp. 1–10, 2014 (In Persian).
- [32] R. A. J. Chagas, J. Waldmann, Nonlinear filtering in a simulated three-axis satellite attitude estimation and control tested, *Journal of Aerospace Engineering, Sciences and Applications*, May –Aug. 2010, Vol. II, No 2, pp. 37–49, 2010.
- [33] J. C. Springmann, *Satellite Attitude Determination with Low-Cost Sensors*, PhD thesis Aerospace Engineering, University of Michigan, 2013.
- [34] X. Yejun, Application of Extended Kalman Filtering Algorithm in Multi-sensor Information Fusion, *The 9th International Conference on Computer Science & Education (ICCSE 2014)*, Vancouver, Canada, August 22–24, 2014.
- [35] Thomas Bak. Spacecraft Attitude Determination - a Magnetometer Approach, PhD thesis, Aalborg University, 1999.
- [36] S. Elizabeth, R. Jothilakshmi, Convergence Analysis of Extended Kalman Filter in a Noisy Environment through Difference Equations, *International Journal of Pure and Applied Mathematics*, V. 91, No. 1, pp. 33–41, 2014.
- [37] M. Masoumehzad, A. Jamali, N. Nariman-zadeh, Optimal Design of Symmetrical/Asymmetrical Sigma-Point Kalman Filter Using Genetic Algorithms, *Transactions of the Institute of Measurement and Control*, pp. 1–8, 2014.
- [38] J. L. Crassidis, F. L. Markley, Y. Cheng, Survey of Nonlinear Attitude Estimation Methods, *AIAA Journal of Guidance, Control and Dynamics*, Vol. 30, No. 1, pp. 12–28, 2007.
- [39] M. F. Hassan, M. Zribi, M. Tawfic, State Estimation of Constrained Nonlinear Discrete-Time Dynamical Systems, *International Journal of*

جدول 4 مقادیر میانگین مجذور مربعات خطای تخمین به ازای تغییرات پارامترها

پارامتر	بدون نامعینی	با نامعینی	مرجع [43]	واحد
زاویه رول	0/019	0/026	0/031	درجه
زاویه پیچ	0/021	0/025	0/047	درجه
زاویه یاو	0/017	0/027	0/15	درجه
سرعت زاویه‌ای رول	0/0012	0/0014	0/0015	درجه بر ثانیه
سرعت زاویه‌ای پیچ	0/0013	0/0015	0/0016	درجه بر ثانیه
سرعت زاویه‌ای یاو	0/0011	0/0014	0/0019	درجه بر ثانیه

7- نتیجه‌گیری

در این مقاله، ابتدا معماری زیرسیستم تعیین و کنترل وضعیت برای کلاس وضعیت از ماهواره‌های مدار پایین زمین جهت فراهم کردن نشانه‌روی و پایداری دقیق پیشنهاد گشت که در آن تبادل داده بین اجزای کنترلی از طریق شبکه گن صورت می‌گیرد. در ادامه، ضمن بیان مدل دینامیک ماهواره به صورت غیرخطی و مدل‌سازی تمامی اجزای سیستم، با لحاظ نمودن اثرات ناشی از شبکه به صورت اغتشاش کراندار، الگوریتم‌های تخمین و کنترل وضعیت برای جبران آن‌ها طراحی شد. سپس، قضیه اصل جداسازی براساس مدل خطی شده ماهواره ارائه شده و با اثبات آن، شرایط هم‌گرایی و پایداری نمایی رؤیت‌گر و کنترل‌گر استخراج شد. در نهایت، با شبیه‌سازی نتایج بر روی یک ماهواره نمونه فعال در مدار اثبات شد که پایداری و دقت مورد نظر فراهم گشته است.

8- مراجع

- J. R. Wertz, *Spacecraft Attitude Determination and Control*, Kluwer Academic Publishers, Dordrecht, Holland, 1988.
- J. Marcel, Sidi, *Spacecraft Dynamics and Control*, Cambridge University Press, 1997.
- F. C. Dumont, J. J. Suter, P. D. Schwartz, A Controller Area Network-Based Telemetry and Command System for Small Space Experiments, *JOHNS HOPKINS APL TECHNICAL DIGEST* (Applied Physics Laboratory), Vol. 20, No. 2, pp. 214–220, 1999.
- K. Janschek, A. Braune, Application of Industrial CAN Bus Technology for LEO-Satellites, *Acta Astronautica*, Vol. 46, Issues 2–6, pp. 313–317, January–March 2000.
- L. M. Gomes, G. Yuksel, V. Lappas, A. D. S. Curiel, A. Bradford, C. Ozkaptan, S. M. Sweeting, BILSAT: Advancing Smallsat Capabilities; SSC03-VI-4, *17th AIAA/USU Conference on Small Satellites*, 2003.
- K. Johansson, M. Tärngren, et al, Vehicle applications of controller area network, *Handbook of Networked and Embedded Control Syst.*, 2005.
- SPACEQUEST DEVELOPS CAN Bus HARDWARE FOR RAPID SMALL SATELLITE, 2006: [http://collaborate.org/sites/collaborate.org/files/4-14-2006. \(11/11/2014\)](http://collaborate.org/sites/collaborate.org/files/4-14-2006. (11/11/2014))
- D. Stanton, *Changing the economics of space: CAN in Space Applications Small Satellite Platforms*, SSTL ADCSS, 2013; [http://space-env.esa.int/indic0/getFile.py/access?contribId=27&sessionId=13&resId=0&materialId=slides&confId=22. \(11/11/2014\)](http://space-env.esa.int/indic0/getFile.py/access?contribId=27&sessionId=13&resId=0&materialId=slides&confId=22. (11/11/2014))
- M. Khurram, S. M. Y. Zaidi, CAN as a Spacecraft Communication Bus In LEO Satellite Mission, *Proceedings of 2nd International Conference on Recent Advances in Space Technologies (RAST)*, 2005.
- S. Wielandt, G. Ottoy, J. P. Goemaere, N. Stevens and L. D. Strycker, Integration of a CAN bus in an Onboard Computer for Space Applications, *11th International Conference on DEVELOPMENT AND APPLICATION SYSTEMS*, Suceava, Romania, pp. 56–59 , May 17–19, 2012.
- S. A. Asghari, H. Taheri, H. Pedram, Designing a Reliable and Application Specific Controller Area Network Protocol for Intra-Communication of an Embedded System, *Research Journal of Applied Sciences, Engineering and Technology*, Vol. 5, No. 2, pp. 445–451, 2013.
- H. Yan, S. Yan, H. Zhang, X. Zhao, Recent Advances on Filtering and Control for Nonlinear Stochastic Complex Systems with Incomplete Information: A Survey, *Hindawi Publishing Corporation, Mathematical Problems in Engineering*, Vol. 2012, Article ID 530759, 16 pages, 2012.
- Y. WANG, L. HE, M. SU, The Research of Delay Characteristics in CAN Bus Networked Control System, *Journal of Computational Information Systems*, Vol. 9, No. 18, pp. 7517–7523, 2013.

- [42] S. Chouraqui, M. Benyettou, Design and Implementation for a Non Linear State Filter for LEO Micro Satellite, *Journal of Applied Sciences* 9 (24), pp. 4195-4205, 2009.
- [43] M. J. Hale, P. Vergez, M. J. Meerman, Kalman Filtering and the Attitude Determination and Control Task, AIAA-2004-6018, USAFA, Department of Astronautics, USAF Academy CO 80840, 2004.
- [44] H. E. Soken, C. Hajiyev, S. -I. Sakai, Robust Kalman filtering for small satellite attitude estimation in the presence of measurement faults, *European Journal of Control* 20 (2), pp. 64–72, 2014.
- [45] M. S. Grewal, A. P. Andrews, Applications of Kalman filtering in aerospace 1960 to the present, *IEEE Magazine on Control Systems*, Vol. 30, No. 3, pp. 69–78, 2010.
- [46] T. M. A. Habib, Combined Spacecraft Orbit and Attitude Control through Extended Kalman Filtering of Magnetometer, Gyro, and GPS Measurements, *The Egyptian Journal of Remote Sensing and Space Sciences*, 17, pp. 87–94, 2014.